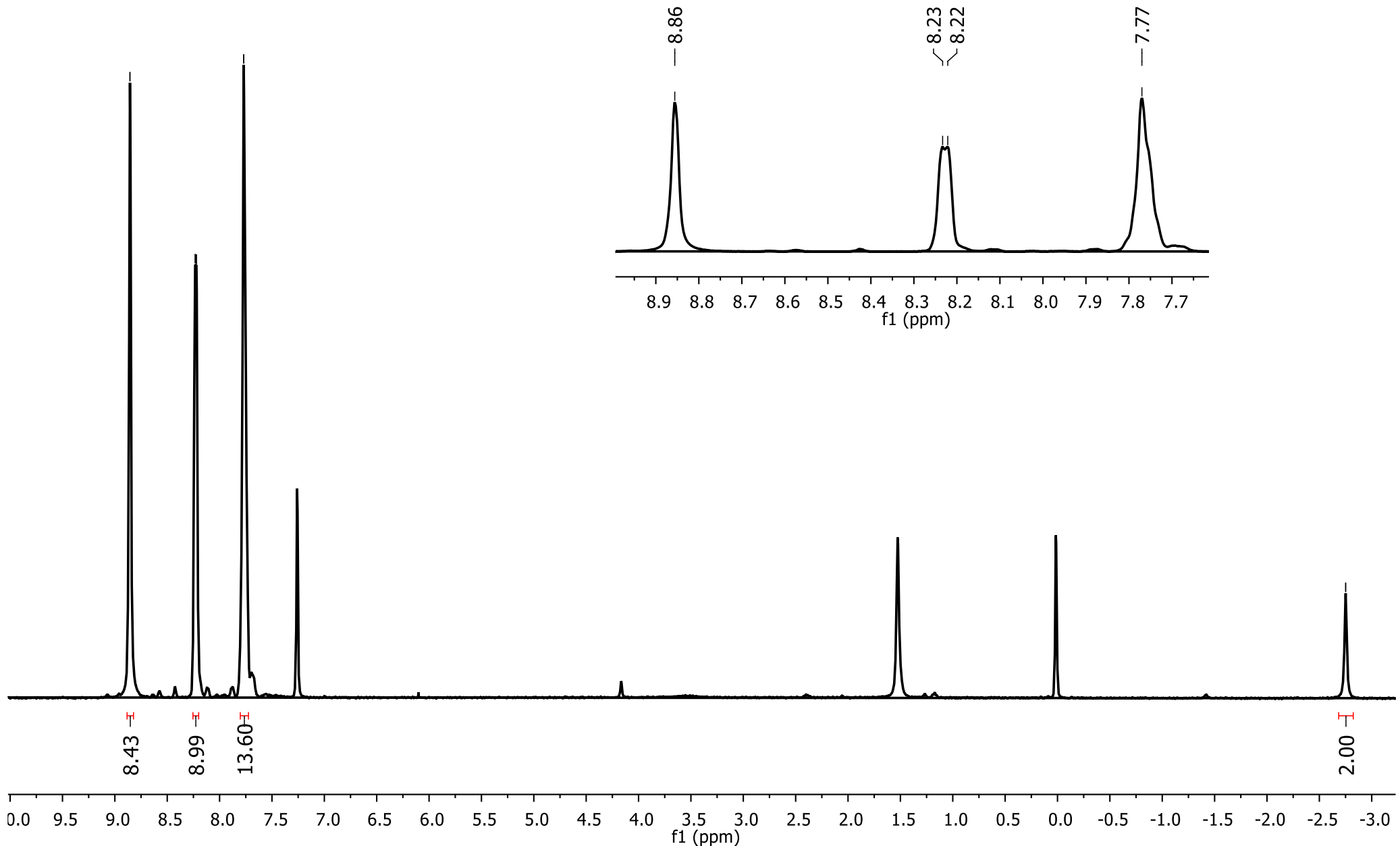


QIC\_PL11-G1\_H2TTP  
NMR de  $^1\text{H}$  [400 MHz,  $\text{CDCl}_3$ ]

8.86  
8.23  
8.22  
7.77

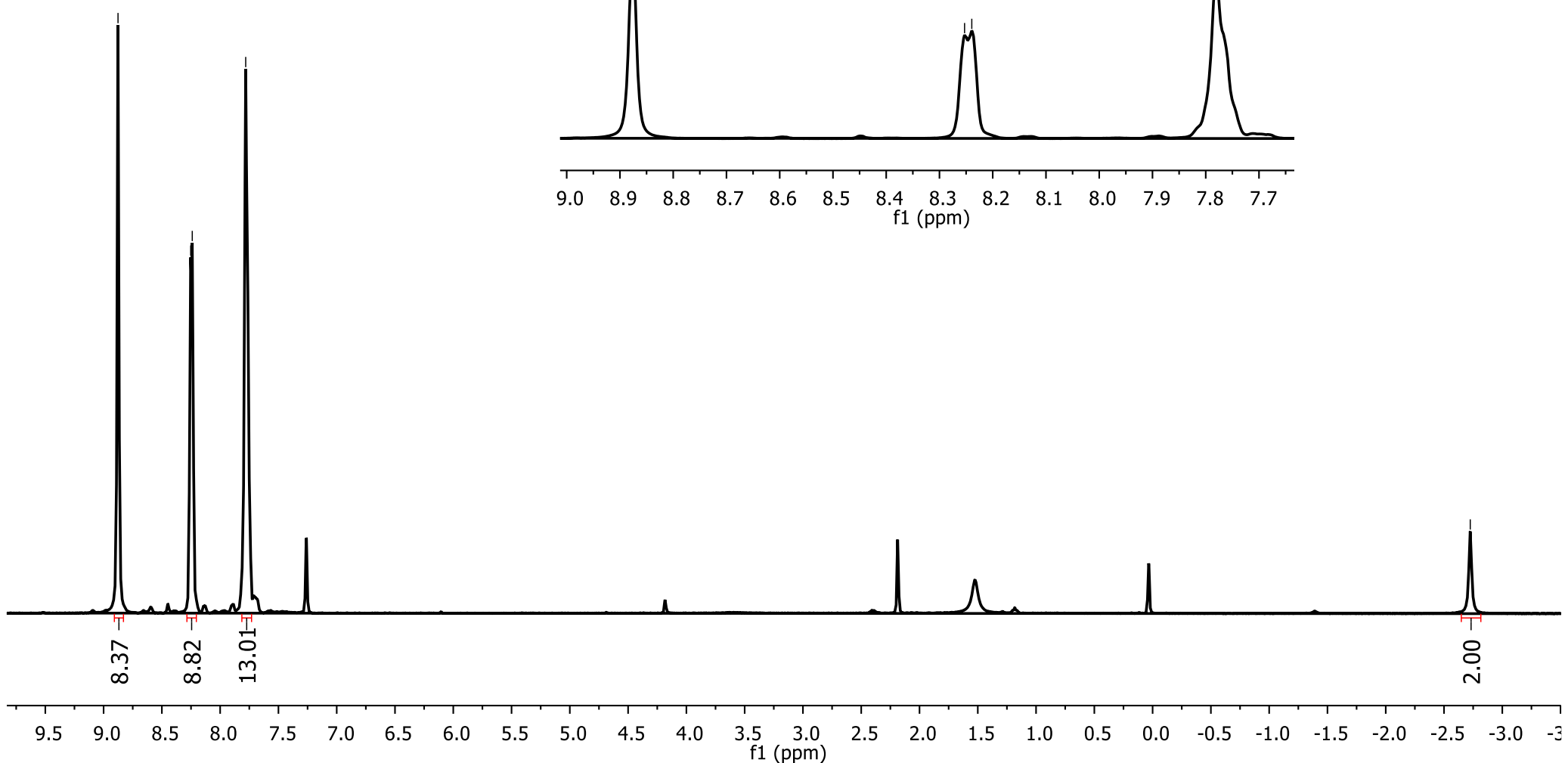
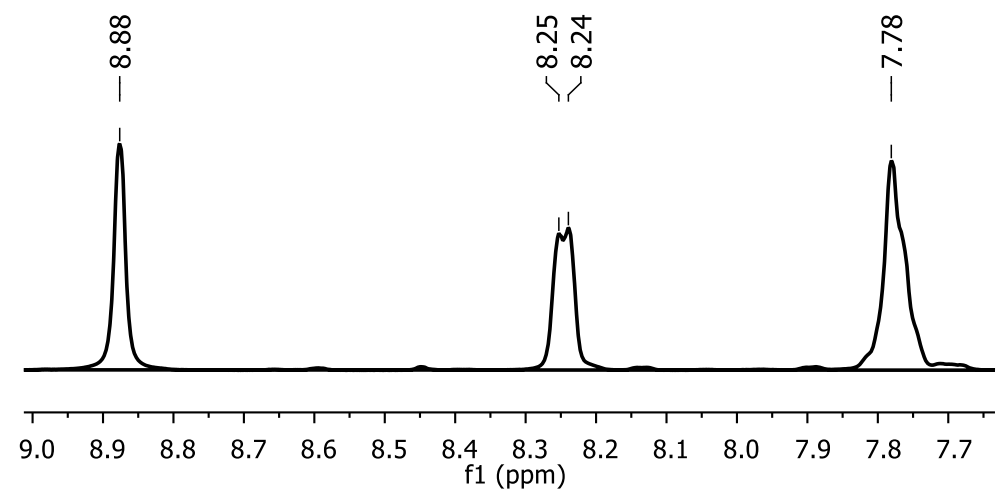
-2.75



QIC\_PL11-G2\_H2TTP  
NMR de  $^1\text{H}$  [400 MHz,  $\text{CDCl}_3$ ]

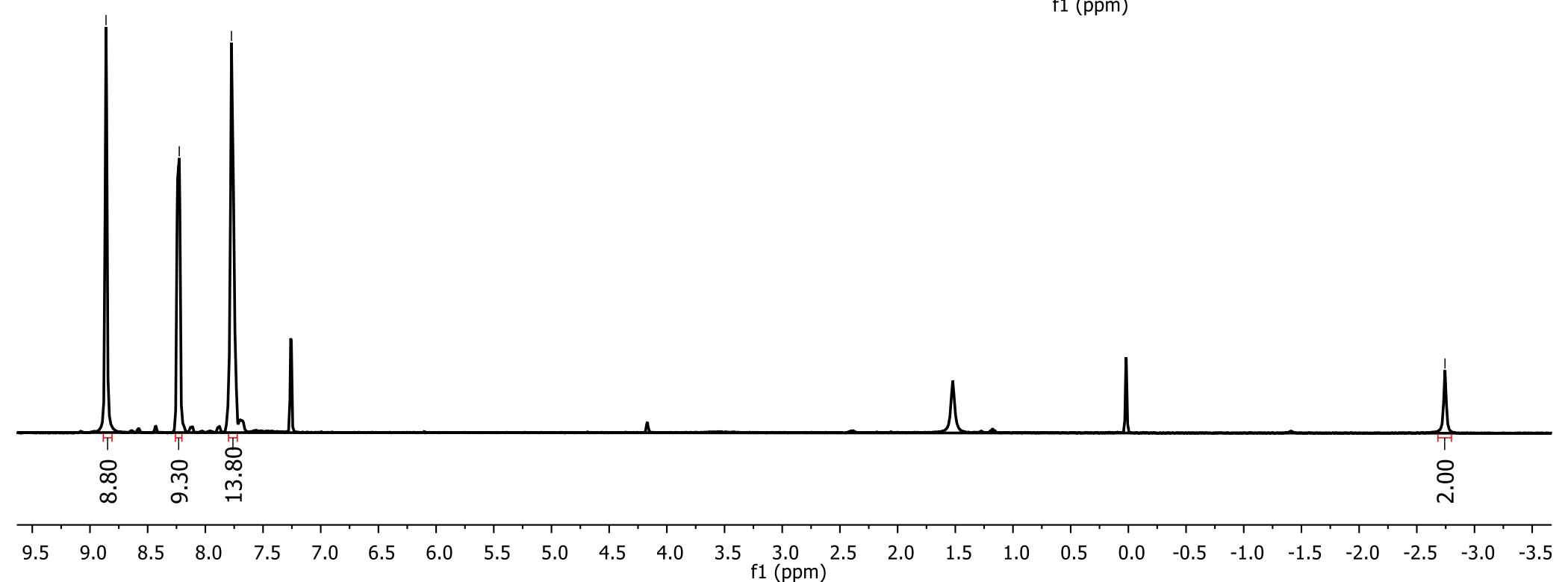
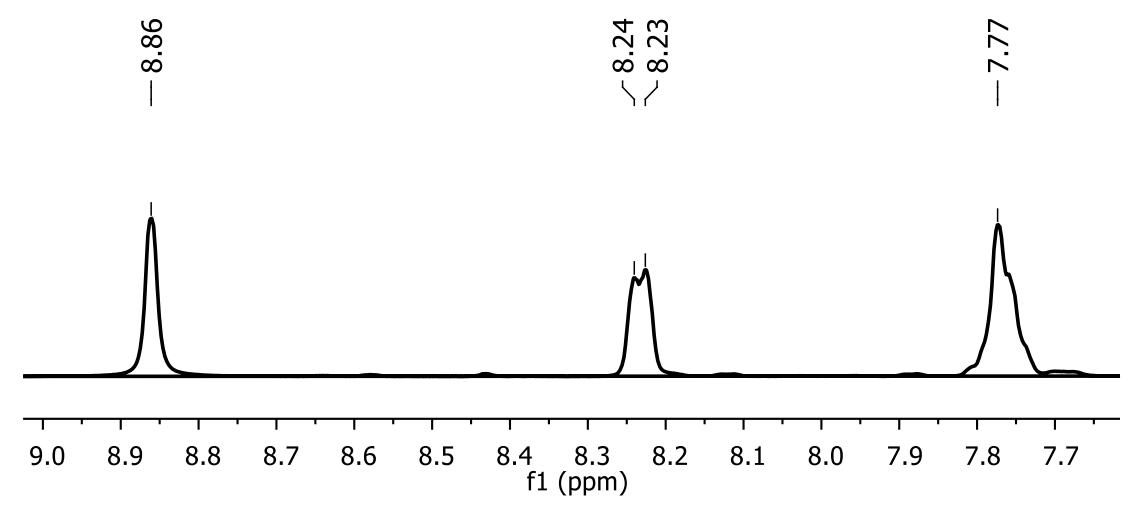
— 8.88  
— 8.25  
— 8.24  
— 7.78

— -2.73



QIC\_PL11-G3\_H2TTP  
NMR de  $^1\text{H}$  [400 MHz,  $\text{CDCl}_3$ ]

— 8.86  
— 8.24  
— 8.23  
— 7.77



QIC\_PL11-G4\_H2TTP  
NMR de  $^1\text{H}$  [400 MHz,  $\text{CDCl}_3$ ]

— 8.87  
— 8.25  
— 8.23  
— 7.78

— -2.74

